Check for updates



https://doi.org/10.21516/2072-0076-2022-15-4-77-83

Рабдомиосаркома орбиты у детей

С.В. Саакян^{1, 2}, Н.В. Склярова¹, А.Ю. Цыганков^{1, 2 🖾}, М.Г. Жильцова¹, В.Р. Алиханова¹, Р.А. Тацков¹

¹ ФГБУ «НМИЦ глазных болезней им. Гельмгольца» Минздрава России, ул. Садовая-Черногрязская, д. 14/19, Москва, 105062, Россия

Пель исследования — анализ результатов лечения и динамического наблюдения детей с рабдомиосаркомой (РМС) орбиты с учетом витального прогноза. Материал и методы. Обследованы 32 ребенка с РМС (18 мальчиков. 14 девочек) в возрасте от 2 мес до 12 лет. Анамнез заболевания составил от одной до 16 нед (медиана — 5 нед), медиана наблюдения — 60 мес. Опухоль локализовалась в верхнем (n = 13), верхневнутреннем (n = 9), нижнем (n = 4), внутреннем (n = 3) и наружном (n = 3) квадрантах. Проведено первичное хирургическое лечение — орбитотомия с использованием транскутанного (n = 26), трансконъюнктивального (n=2) и поднадкостничного доступа (n=4) с последующей интологической, гистологической и иммуногистохимической верификацией ткани во всех случаях. Результаты. Наибольшее число случаев заболевания отмечено в группе от 2 до 7 лет (66 % пациентов). В стационарных условиях проведено полное макроскопическое удаление РМС в 17 случаях, частичное в 9 случаях, забор биоптата в 6 случаях. РМС эмбрионального типа составила 87% (n=28), альвеолярного типа — 13% (n=6). Всем детям в послеоперационном периоде проведена комбинированная терапия (системная полихимиотерапия и дистанционная лучевая терапия) в стационарных условиях специализированных онкологических и радиологических клиник. Выживаемость в исследуемой группе детей составила 100 %. В отдаленном периоде (через 3—5 лет) проведены реконструктивные операции по коррекции птоза, косоглазия, очковая или призматическая коррекция сложного или смешанного астигматизма. При развитии синдрома сухого глаза проводили консервативную местную терапию. После экзентерации орбиты применяли эктопротезирование. Заключение. Представлен анализ собственных наблюдений 32 детей с РМС орбиты. Все больные выжили, что свидетельствует о значимости своевременной диагностики и комбинированного лечения опухоли.

Ключевые слова: рабдомиосаркома орбиты; опухоль орбиты; выживаемость; прогноз; лечение **Конфликт интересов:** отсутствует.

Прозрачность финансовой деятельности: никто из авторов не имеет финансовой заинтересованности в представленных материалах или методах.

Для цитирования: Саакян С.В., Склярова Н.В., Цыганков А.Ю., Жильцова М.Г., Алиханова В.Р., Тацков Р.А. Рабдомиосаркома орбиты у детей. Российский офтальмологический журнал. 2022; 15 (4): 77-83. https://doi. org/10.21516/2072-0076-2022-15-4-77-83

Orbital rhabdomyosarcoma in children

Svetlana V. Saakyan^{1, 2}, Natella V. Sklyarova¹, Alexander Yu. Tsygankov^{1, 2 ⊠}, Marina G. Zhiltsova¹, Valida R. Alikhanova¹, Robert A. Tatskov¹

¹ Helmholtz National Medical Research Center of Eye Diseases, 14/19, Sadovaya-Chernogryazskaya St., Moscow, 105062, Russia

² Yevdokimov Moscow State Medical Stomatological University of Medicine and Dentistry, 20/1, Delegatskaya St., Moscow, 127473, Russia alextsygankov1986@yandex.ru

Purpose. To analyze the results of treatment and active monitoring the children with orbital rhabdomyosarcoma (RMS) with an emphasis on vital prognosis. **Material and methods.** We examined 32 children with RMS (18 boys, 14 girls) aged 2 months to 12 years, whose case history ranged from 1 week to 16 weeks (median, 5 weeks). The median follow-up was 60 months. The tumor was localized in the upper (n = 13), upper internal (n = 9), lower (n = 4), internal (n = 3), and external (n = 3) quadrants. The patients underwent primary surgical treatment:

² ФГБОУ ВПО «МГМСУ им. А.И. Евдокимова» Минздрава России, ул. Делегатская, д. 20, стр. 1, Москва, 127473, Россия

orbitotomy using transcutaneous (n = 26), transconjunctival (n = 2) and subperiosteal access (n = 4) followed by cytological, histological and immunohistochemical tissue verification in all cases. **Results.** The highest number of RMS cases was noted in in the 2- to 7-year-old group (66 % of patients). All patients were treated in in-patient settings. Complete macroscopic removal of tumor was performed in 17 cases, partial removal in 9 cases, and biopsy sampling in 6 cases. The embryonic type of RMS accounted for 87 % (n = 28), and the alveolar type, for 13 % (n = 6). In the postoperative period all children received combined therapy (systemic polychemotherapy and distant radiation therapy) in in-patient facilities of special oncological and radiological clinics. The survival rate of the whole group was 100%. In the long-term follow-up period (after 3 to 5 years), reconstructive surgeries were performed to correct ptosis and strabismus, and/or spectacle or prismatic correction of complex or mixed astigmatism. In cases of "dry" eye syndrome, conservative local therapy was offered. After orbital exenteration, ectoprosthesis procedures was applied. **Conclusion.** The analysis of our observations of 32 children with orbital rhabdomyosarcoma showed a 100 % survival rate, which testifies to the importance of timely diagnosis and combined treatment of the tumor.

Keywords: orbital rhabdomyosarcoma; orbital tumor; survival rate; prognosis; treatment

Conflict of interests: there is no conflict of interests.

Financial disclosure: no author has a financial or property interest in any material or method mentioned.

For citation: Saakyan S.V., Sklyarova N.V., Tsygankov A.Yu., Zhiltsova M.G., Alikhanova V.R., Tatskov R.A. Orbital rhabdomyosarcoma in children. Russian ophthalmological journal. 2022; 15 (4): 77-83 (In Russian). https://doi.org/10.21516/2072-0076-2022-15-4-77-83

Рабдомиосаркома (РМС) — опухоль высокой степени злокачественности, развивающаяся из клеток плюрипотентной мезенхимы [1]. РМС органа зрения включает опухоли орбиты реже других структур придаточного аппарата глаза [2]. Опухоль манифестирует в первую декаду жизни [3], хотя в литературе описаны случаи РМС от рождения до восьмой декады жизни [4, 5]. РМС — наиболее частая мягкотканная саркома области головы и шеи у детей, она составляет до 4 % всех злокачественных новообразований в детской популяции. У пациентов с РМС орбиты первым клиническим симптомом обычно является развивающийся в течение нескольких недель односторонний отек (80-100 %) или изменение положения глаза (80 %), чаще его смещение книзу и кнаружи, что обусловлено верхненазальной локализацией опухоли более чем в 2/3 случаев [1, 2, 4]. Частота развития злокачественных опухолей орбиты в последние годы возросла. J. Turner и J. Richmon [3] в популяционном исследовании сообщают об увеличении частоты РМС области головы и шеи на 1,16 % и о сохранении пятилетней выживаемости на уровне 80-х годов прошлого столетия, несмотря на новые протоколы терапии РМС; вместе с тем в других исследованиях показано увеличение выживаемости при РМС.

Клиническая картина может сопровождаться развитием болевого синдрома, ухудшением зрения, признаками синусита, а также реакцией со стороны век, конъюнктивы или слезного мясца [2, 6]. Знание анамнеза позволяет проводить первичную дифференциальную диагностику с такими заболеваниями, как флегмона орбиты, лимфангиома, идиопатическое воспаление орбитальной ткани, дермоидная киста, гемангиома, лангергансоклеточный гистиоцитоз (эозинофильная гранулема), саркома, метастатическая нейробластома и лимфома [2]. В литературе описана взаимосвязь частоты развития РМС с рядом семейных наследственных синдромов, включая семейный раковый синдром Ли — Фраумени (ассоциированный с мутацией р53), нейрофиброматоз, а также синдромы Нунан, Беквита — Видемана и Костелло, что свидетельствует о возможной генетической природе РМС [2, 7, 8]. РМС подразделяют на три гистологические подгруппы: плеоморфные, эмбриональные и альвеолярные. Существуюшие на сегодняшний день методы лечения РМС включают хирургию, лучевую терапию (ЛТ) и химиотерапию (ХТ) в зависимости от стадии заболевания и типа опухоли по данным иммуногистохимического (ИГХ) исследования [9-11].

Метастатическое распространение РМС орбиты наблюдается нечасто, однако при отсутствии лечения возможно метастазирование РМС в легкие, кости и костный мозг, главным образом гематогенным путем, так как лимфатические сосуды в орбите представлены в относительно небольшом количестве [2]. Показана возможность локального распространения РМС орбиты в кости орбиты и интракраниально [2]. Метастатические РМС орбиты характеризуются значимо худшим витальным прогнозом по сравнению с локальными формами опухоли [2, 12]. Показано, что большинство РМС орбиты (60,6%) представлено в виде локальных опухолевых узлов, а 5-летняя выживаемость составляет 84,3%, что значительно выше, чем при РМС других локализаций [3, 13]. К другим благоприятным в отношении витального прогноза факторам относят меньший возраст (< 10 лет), женский пол и эмбриональный гистологический тип, наиболее характерный для РМС орбиты [3–4, 13, 14].

ЦЕЛЬ настоящей работы — анализ собственных результатов лечения и динамического наблюдения с учетом витального прогноза детей с РМС орбиты.

МАТЕРИАЛ И МЕТОДЫ

Поражение правой орбиты встречалось в 15 случаях, левой орбиты — в 17 случаях. Зона опухоли в орбите локализовалась в 13 случаях в верхнем квадранте, в 9 — в верхневнутреннем, в 4 — нижнем, в 3 — внутреннем и в 3 — наружном квадранте.

В стационарных условиях отделения детям проведено общеклиническое обследование: визометрия, биомикроскопия, тонометрия (пальпаторная или пневмотонометрия), экзофтальмометрия, ультразвуковая эхография.

Всем пациентам проведена компьютерная или магнитно-резонансная томография орбит в двух проекциях (аксиальной и фронтальной) с шагом 1,5—2,0 мм. РМС представлена преимущественно мягкотканным образованием овальной или неправильной формы с четкими границами, как правило, исходящим из экстраокулярных мышц, без изменения прилежащих костных тканей.

На рисунке 1 в нижненаружном отделе орбиты определяется неправильной овальной формы образование с четкими границами, мягкоэластической консистенции, гомогенной структуры, компримирующее задний полюс глазного яблока. Прилежащая экстраокулярная мышца не дифференцируется.

В условиях стационара всем детям проведено первичное хирургическое лечение — орбитотомия с использованием транскутанного доступа в 26 случаях (в том числе в 3 случаях доступ по Смиту), трансконьюнктивального доступа (в 2 случаях) и с использованием поднадкостничного доступа (в 4 случаях) с последующей цитологической (ТИАБ), гистологической и ИГХ-верификацией патологической ткани во всех случаях.

Проведено рутинное цитологическое и иммуноцитохимическое (ИЦХ) исследование. Забор материала для цитологического исследования выполняли интраоперационно одновременно методом ТИАБ и отпечатка. Приготовление и окраску цитологических препаратов проводили по стандартной методике. ИЦХ проводили на мазках с оценкой результатов методом световой микроскопии с использованием реагентов фирм «Дако».

После проведения комплексного лечения дети наблюдались в динамике в амбулаторных условиях НМИЦ ГБ им. Гельмгольца. Сроки наблюдения составили от 12 мес до 11 лет (медиана наблюдения — 60 мес).

Статистическую обработку данных проводили с использованием программ Microsoft Windows®7 и IBM SPSS Statistics 23.0. Определяли средние значения, стандартное (среднее квадратичное) отклонение (σ), медианы (Me), 25-й и 75-й процентили, максимальное и минимальное значение. Для оценки выживаемости применяли метод множительных оценок Каплана — Мейера.

РЕЗУЛЬТАТЫ

Проведен ретроспективный анализ результатов обследования и лечения 32 детей с PMC орбиты, при котором анамнез заболевания составил от одной до 16 нед (медиана — 5 нед).

В стационарных условиях офтальмологического отделения по лечению онкологических заболеваний органа зрения ФГБУ НМИЦ ГБ им. Гельмгольца проведено полное удаление РМС в орбите в 17 случаях, частичное — в 9 случаях, забор биоптата — в 6 случаях. Во всех случаях по цитограммам установлена злокачественная природа опухоли и диагностирована РМС. Результаты цитологии подтверждены гистологическим исследованием во всех случаях.

Общим для всех типов цитограмм явилось присутствие выраженных признаков злокачественности, на основании



Рис. 1. Компьютерная томография РМС левой орбиты ребенка 8 лет, сагиттальный срез Fig. 1. Computer tomography scan of the left orbit RMS of an 8-year-old child,

sagittal section

которых установлен характер опухоли. Характерные структурные признаки, такие как своеобразное расположение клеток в виде пучков и хаотичных скоплений, а также вытянутая форма клеток позволяют установить миогенную природу новообразования. Характерным цитологическим признаком РМС явилось выявление в мазке атипичных клеток — «ракеток», «головастиков» и «ремневидных» клеток вытянутой формы с длинными отростками цитоплазмы и своеобразного их расположения, напоминающего пучки (рис. 2, 3).

По особенностям цитологического мазка, а именно по наличию межуточного вещества, форме, размеру клеток и их расположению с использованием ИЦХ-исследования уточнен морфологический тип РМС (рис. 4, 5).

По морфологическому типу выявлены в 28 (87 %) случаях РМС эмбрионального и в 6 (13 %) случаях — альвеолярного типа.

Дальнейшее лечение проводилось с учетом результатов морфологического исследования и иммунофенотипа клеток на основании ИГХ-исследования. Всем детям с

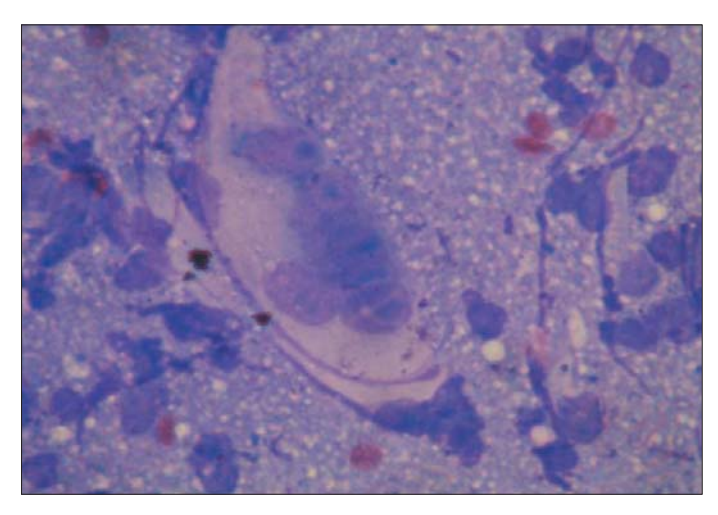


Рис. 2. Многоядерная клетка «головастик» с множественными полиморфными ядрами и эозинофильной цитоплазмой. Окраска по Паппенгейму, \times 100

Fig. 2. A multinucleated "tadpole" cell with multiple polymorphic nuclei and eosinophilic cytoplasm. Pappenheim staining, \times 100

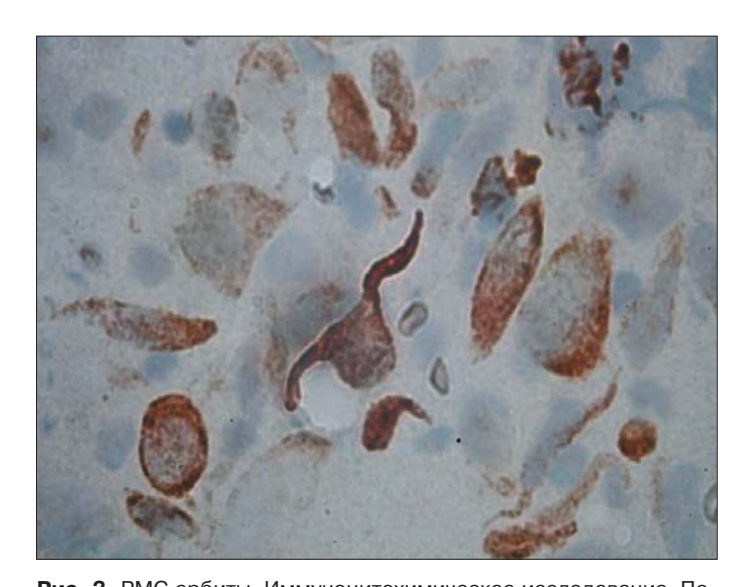


Рис. 3. РМС орбиты. Иммуноцитохимическое исследование. Положительная экспрессия десмина в опухолевых клетках **Fig. 3.** Orbital rhabdomyosarcoma. Immunocytochemical study. Positive desmin expression in tumor cells

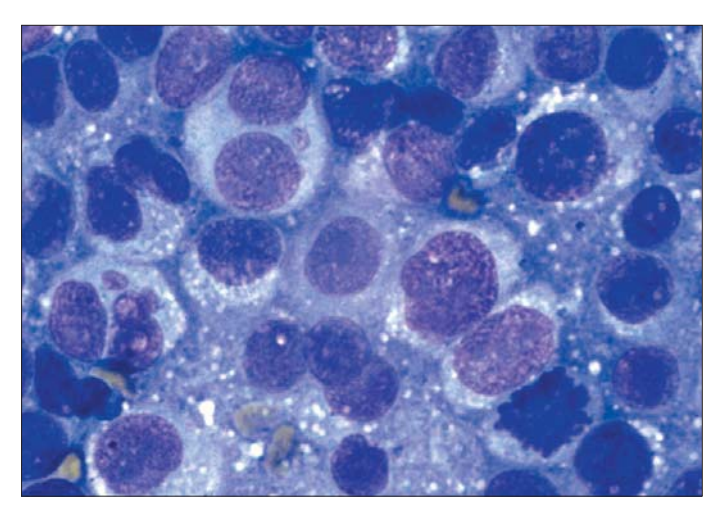


Рис. 4. РМС орбиты (альвеолярный вариант). Клетки округлой формы с полиморфными ядрышками, видны двух- и многоядерные формы. Митоз. Окраска по Паппенгейму, × 100

Fig. 4. Orbital rhabdomyosarcoma (alveolar type). Cells rounded with polymorphic nuclei, 2 and multinucleated forms are seen. Mitosis. Pappenheim staining, × 100

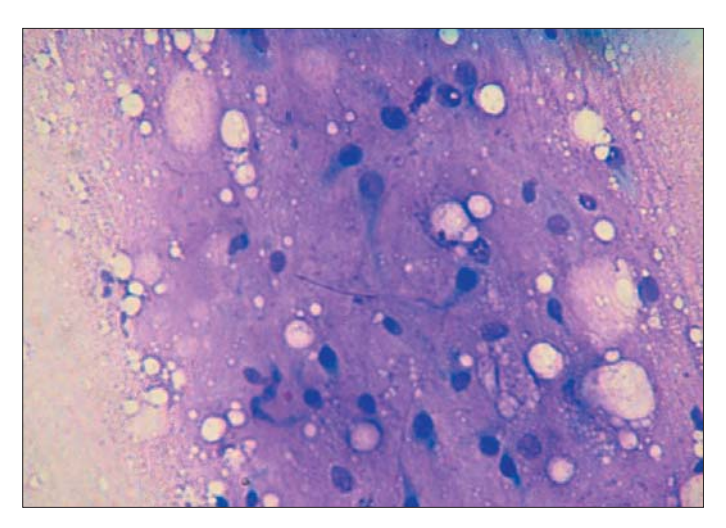


Рис. 5. РМС орбиты (эмбриональный вариант). Клетки опухоли округлой и вытянутой формы погружены в миксоидное вещество. Окраска по Паппенгейму, \times 40

Fig. 5. Orbital rhabdomyosarcoma of the orbit (embryonal type). Tumor cells of rounded and elongated shape are immersed in myxoid substance. Pappenheim staining, \times 40



Рис. 6. Клиническая картина РМС орбиты у ребенка 9 лет **Fig. 6.** Clinical appearance of orbital rhabdomyosarcoma in a 9-year-old child

установленным диагнозом РМС в послеоперационном периоде проведена комбинированная терапия: системная полихимиотерапия (ПХТ) и дистанционная ЛТ (ДЛТ) в условиях специализированных онкологических клиник.

Выживаемость в исследуемой группе детей составила 100%. По окончании лечения бессобытийный период (резорбция опухоли) наблюдался у 24 (75%) детей. Событийный период выявлен в 8 (25%) случаях: из них рецидив опухоли выявлен у 7 детей и продолженный рост опухоли наблюдался у одного ребенка. В связи с этим детям была повторно проведена системная ПХТ (с изменением протокола ХТ) и проведен повторный курс ЛТ на область орбиты. В 4 случаях рецидива РМС, несмотря на проводимое системное противоопухолевое лечение, отмечался рост опухоли в орбите, в связи с чем проведена экзентерация орбиты, после чего наблюдалась стабилизация процесса. В одном случае у одного ребенка через 6 мес по окончании комбинированного лечения выявлено подозрение на метастаз в головной мозг, что не подтвердилось при дальнейшем наблюдении.

В отдаленном периоде (через 3–5 лет) проведены реконструктивные операции по коррекции птоза, косоглазия, очковая или призматическая коррекция сложного или смешанного астигматизма. При развитии синдрома сухого глаза проводили консервативную местную терапию. После экзентерации орбиты применяли эктопротезирование.

ОБСУЖДЕНИЕ

По данным литературы, для пациентов с РМС орбиты прогноз относительно благоприятный в связи с удобной анатомической локализацией опухоли (выраженность симптомов наблюдается в дебюте заболевания), гистологическим строением (80 % эмбриональных опухолей) и возрастом пациента [2]. Пятилетняя выживаемость при эмбриональной РМС составляет 94 %, при альвеолярной — 74 % [2]. Общая выживаемость достаточно высока (92 % через 5 лет и 87 % через 10 лет) [15]. Выживаемость после рецидива опухоли зависит от возраста дебюта заболевания, гистологического типа, клинической группы по классификации IRS и предшествующих XT и ЛТ [16]. В нашей работе выживаемость составила 100 %.

После применения ДЛТ возможно развитие целого ряда осложнений, включая катаракту (55 %), синдром сухого глаза (36 %), гипоплазию орбиты (24 %), птоз (9 %), лучевую ретинопатию (90 %), асимметрию лица, вторичную по отношению к костной гипоплазии, кератоконъюнктивит, стеноз слезного канала, дефекты зубов, задержку роста (в случае ятрогенного облучения гипофиза) и вторичные опухоли, такие как остеогенная саркома, лимфобластная лейкемия и меланома [1-2,17].

Анализ наших данных выявил, что длительность анамнеза не зависит от дальности проживания пациента и в первую очередь связана с интенсивностью проявления и нарастания симптоматики заболевания. Первоначальному проявлению заболевания предшествовало заболевание ОРВИ или состояние, сопровождающееся гипертермией, на фоне которого или по окончании (через 1—2 нед) появлялся отек века, выпячивание (экзофтальм) глаза со смещением его в сторону, противоположную от места локализации опухоли в орбите, ограничение подвижности глаза, выраженный красный отек (хемоз) бульбарной конъюнктивы или конъюнктивального свода, птоз или несмыкание век (рис. 6).

У половины больных отмечался болевой синдром. В случае несмыкания век состояние сопровождалось кератопатией, снижением остроты зрения на стороне поражения.

На злокачественный характер процесса указывало то, что, несмотря на сравнительно непродолжительный анамнез (медиана — 5 нед), в орбите выявлялся очаг опухоли больших размеров — от 10 до 48 мм по протяженности (медиана — 30,4 мм) с поражением прилегающих экстраокулярных мышц (ЭОМ), жировой клетчатки и распространением в глубокие отделы орбиты. Ранее предполагали, что РМС развивается из ЭОМ с преимущественным поражением верхней косой мышцы, что более характерно для эмбрионального типа опухоли, в то время как РМС альвеолярного типа чаще встречается в нижнем отделе орбиты. В настоящее время показано, что опухоль развивается из плюрипотентных мезенхимальных клеток, обладающих способностью дифференциации в мышечные клетки [2, 18, 19]. В ряде случаев причиной развития новообразования служит облучение области орбиты, что приводит ко вторично индуцированной опухоли [2].

Наши исследования подтвердили вышеприведенные сведения о РМС и показали, что опухоль может встречаться в любом отделе орбиты, поскольку только у 1/3 пациентов РМС выявлена в верхневнутреннем квадранте орбиты. Из 6 случаев РМС альвеолярного типа только в одном случае опухоль выявлена в нижнем отделе, в 2 случаях — верхневнутреннем и в одном случае — наружном и верхнем отделе орбиты.

По данным литературы, признаки, выявляемые при ультразвуковом исследовании (УЗИ), не типичны для РМС орбиты, а распространение ультразвука в более глубокие ткани затруднено, поэтому использование УЗИ для диагностики опухолей орбиты ограничено [20, 21]. Наиболее часто РМС по данным УЗИ представлена как хорошо контурированная, гетерогенная, иррегулярная масса с эхогенностью, варьирующей от низкой до средней, а по данным допплерографии РМС характеризуется непостоянным внутриопухолевым кровотоком [20, 21]. Четкие контуры опухоли по данным УЗИ чаще отмечались на ранних стадиях заболевания. В качестве одного из признаков РМС описан псевдокистозный внешний вид опухоли, что обусловлено наличием веретеновидных клеток при эмбриональной РМС.

Анализ наших данных показал, что общими ультразвуковыми признаками РМС являлись гипоэхогенность и четкие контуры опухоли (рис. 7) за счет выраженной акустической разницы с окружающими тканями, неоднородность структуры, преимущественная гиперваскуляризация опухоли и артериовенозный спектр внезапной остановки кровообращения (вок) (рис. 8), среднескоростные показатели вок с пониженными индексами периферического сопротивления, наличие шунтирующих воС, редко коллатеральный артериальный кровоток, наличие дренирующих вен (рис. 9).

Выявленные эхографически структурные и гемодинамические особенности РМС указывают на высокую метаболическую активность опухоли, что позволяет предположить злокачественную природу образования и обосновывает незамедлительное начало лечения. Таким образом, анамнез и результаты клинико-инструментального обследования помогают уточнить характер роста и локализацию опухоли, что влияет на выбор хирургического подхода и объем операционного вмешательства.

Следует отметить, что хирургический подход при удалении или заборе биоптата опухоли, по нашим данным, не отягощает течение заболевания, а остаточные косметологические состояния и осложнения по окончании всего курса лечения в долгосрочном периоде наблюдения зависят от исходного объема опухоли, ее локализации и степе-

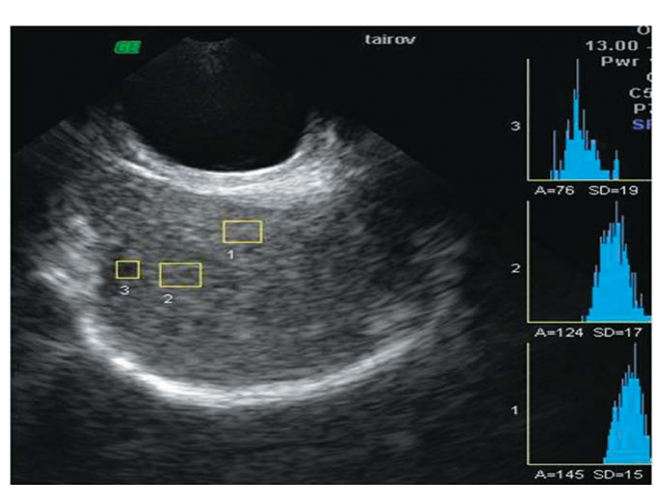


Рис. 7. Гипоэхогенная акустическая плотность и четкие контуры РМС орбиты

Fig. 7. Hypoechogenic acoustic density and clear contours of orbital rhabdomyosarcoma

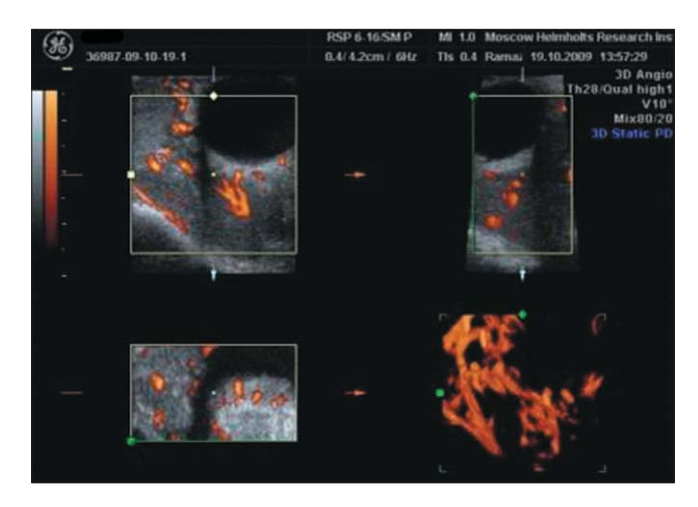


Рис. 8. Трехмерная ангиореконструкция, объемное изображение сосудистого рисунка гиперваскулярной структуры РМС орбиты

Fig. 8. Three-dimensional angioreconstruction, volumetric image of the vascular pattern of the hypervascular structure of orbital rhabdomyosarcoma

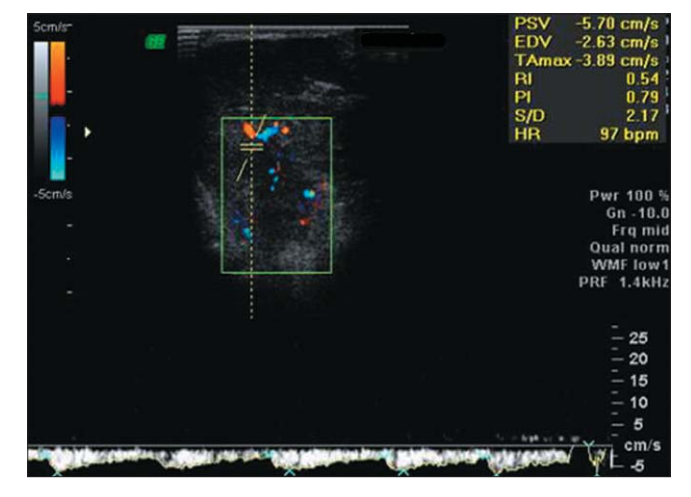


Рис. 9. Коллатеральный кровоток во внутриопухолевых артериях эмбриональной **PMC** орбиты

Fig. 9. Collateral blood flow in the intratumoral arteries of embryonic orbital rhabdomyosarcoma

ни поражения орбитальных тканей. Полученные результаты согласуются с имеющимися данными литературы о том, что относительная выживаемость в большей степени зависит от прогрессирования опухоли, чем от размера первичного очага [3, 13]. Возможность полного удаления РМС из орбиты позволяла избавить ребенка от тягостного токсического влияния опухоли на ткани орбиты и у 2/3 пациентов способствовала повышению остроты зрения на стороне поражения уже в раннем послеоперационном периоде. Пример внешнего вида пациента после удаления опухоли и комбинированной химиолучевой терапии представлен на рисунке 10.

По данным авторов, большинство РМС орбиты относятся к эмбриональному типу, а плеоморфный тип характерен только для взрослых пациентов (медиана — шестая декада жизни) [2]. Определение морфологического и ИГХтипа РМС для выявления субтипа опухоли имеет большое значение для выбора протокола ХТ и должно подтверждаться ИГХ и цитогенетическими методами. Эмбриональный тип составляет от 50 до 70 % РМС орбиты. Чаще наблюдают биполярные клетки с ослаблением метаболических процессов в цитоплазме, реже — неправильно удлиненные клетки с расширением цитоплазмы [18]. Обычно клетки образуют структуры, напоминающие переплетенный пучок [22]. Поперечную исчерченность (узлы актиновых и миозиновых филаментов) в цитоплазме визуализируют при окраске трихром по Массону или вольфрамовокислым гематоксилином [23]. Отдельно выделяют кистевидный тип РМС, являющийся разновидностью эмбрионального и имеющий сосочковую (папиллярную) форму [2]. Альвеолярный тип (20—30 % орбитальных РМС) характеризуется наличием слабовыраженных скоплений низкодифференцированных злокачественных клеток, плохо организованных и разделенных на неправильные овальные пространства с помощью тонких фиброваскулярных септ, организованных в альвеолярном порядке, отсутствующем при эмбриональном типе РМС [2]. Для данного типа РМС характерен плохой витальный прогноз [18].

По нашим данным, во всех 32 случаях выживаемость детей с РМС составила 100 % в сроке наблюдения от 12 мес до 11 лет (медиана наблюдения — 5 лет): из них 28 РМС были эмбрионального типа и 6 — альвеолярного типа. При сопоставлении морфологического типа опухоли и событийности течения заболевания не выявлено четкой взаимосвязи, поскольку из 4 случаев рецидива опухоли, завершившихся экзентерацией орбиты, только в одном случае выявлен альвеолярный тип РМС. Очевидно, ответ на этот вопрос следует искать в изучении молекулярно-генетических характеристик



Рис. 10. Клиническая картина через 16 мес после хирургического удаления РМС левой орбиты и комбинированной химиолучевой терапии у ребенка 11 лет

Fig. 10. Clinical presentation 16 months after surgical removal of rhabdomyosarcoma of the left orbit and combined chemoradiotherapy in an 11-year-old child

РМС. Показано, что обнаружение составного белка РАХЗ-FKHR указывает на неблагоприятный вариант альвеолярной РМС, в то время как составной белок РАХ7-FKHR соответствует относительно благоприятному варианту опухоли [24]. Исследования такого рода единичны и нуждаются в продолжении. В нашей работе молекулярно-генетическое исследование не проводили.

ЗАКЛЮЧЕНИЕ

Представлен анализ собственных наблюдений 32 детей с РМС орбиты. Выживаемость больных составила 100 %. При лечении РМС орбиты важен каждый этап: от диагностики до лечебных мероприятий, поскольку своевременность оказания помощи позволяет сохранить жизнь пациента.

Литература/References

- Бровкина А.Ф. Болезни орбиты. Москва: Медицина; 2008. [Brovkina A.F. Orbital diseases. Moscow: Medicina; 2008 (in Russian)].
- Shields J.A., Shields C.L. Rhabdomyosarcoma: review for the ophthalmologist. Surv. Ophthalmol. 2003; 48: 39–57. doi: 10.1016/s0039-6257(02)00415-0
- Turner J.H., Richmon J.D. Head and neck rhabdomyosarcoma: a critical analysis of population-based incidence and survival data. Otolaryngol. Head Neck Surg. 2011; 145: 967–73. doi: 10.1177/0194599811417063
- Conneely M.F., Mafee M.F. Orbital rhabdomyosarcoma and simulating lesions. Neuroimaging Clin. N. Am. 2005; 15: 121–36. doi: 10.1016/j.nic.2005.02.006
- Koopman J.H., van der Heiden-van der Loo M., van Dijk M.R., Bijlsma W.R.
 Incidence of primary malignant orbital tumours in The Netherlands. Eye (Lond)
 2011; 25: 461–5. doi: 10.1038/eye.2011.9
- Karcioglu Z.A., Hadjistilianou D., Rozans M., De Francesco S. Orbital rhabdomyosarcoma. Cancer Control. 2004; 11: 328–3. doi: 10.1177/107327480401100507
- Jung A., Bechthold S., Pfluger T., Renner C., Ehrt O. Orbital rhabdomyosarcoma in Noonan syndrome. J. Pediatr. Hematol. Oncol. 2003; 25: 330–2. doi: 10.1097/00043426-200304000-00014
- Thavaraj V., Sethi A., Arya L.S. Incomplete Beckwith—Wiedemann syndrome in a child with orbital rhabdomyosarcoma. Indian Pediatr. 2002 Mar; 39: 299–304. PMID: 11910143
- Forstner D., Borg M., Saxon B. Orbital rhabdomyosarcoma: multidisciplinary treatment experience. Australas. Radiol. 2006; 50: 41–5. doi: 10.1111/j.1440-1673.2005.01526.x
- Sobel R.K., Ford J.R., Dong W., et al. Frequency and clinical course of residual orbital masses after treatment of orbital rhabdomyosarcoma. Am. J. Ophthalmol. 2021; 234: 28–36. doi: 10.1016/j.ajo.2021.06.035
- Arndt C., Tefft M., Gehan E., et al. A feasibility, toxicity, and early response study of etoposide, ifosfamide, and vincristine for the treatment of children with rhabdomyosarcoma: a report from the intergroup rhabdomyosarcoma study (IRS) IV pilot study. J. Pediatr. Hematol. Oncol. 1997; 19: 124–9. doi: 10.1097/00043426-199703000-00005
- Rao A.A., Chen J.Y., Robbins S.L., Ramkumar H.L. A clinical update and radiologic review of pediatric orbital and ocular tumors. J. Oncol. 2013; 2013: 975908. doi: 10.1155/2013/975908
- Chung E.M., Smirniotopoulos J.G., Specht C.S., Schroeder J.W., Cube R. From the archives of the AFIP: pediatric orbit tumors and tumorlike lesions: no osseous lesions of the extraocular orbit. Radiographics. 2007; 27: 1777–99. doi: 10.1148/ rg.276075138
- Breneman J.C., Lyden E., Pappo A.S., et al. Prognostic factors and clinical outcomes in children and adolescents with metastatic rhabdomyosarcoma – a report from the intergroup rhabdomyosarcoma study IV. J. Clin. Oncol. 2003; 21: 78–84. doi: 10.1200/JCO.2003.06.129
- Chisholm J.C., Marandet J., Rey A., et al. Prognostic factors after relapse in nonmetastatic rhabdomyosarcoma: a nomogram to better define patients who can be salvaged with further therapy. J. Clin. Oncol. 2011; 29: 1319–25. doi: 10.1200/JCO.2010.32.1984
- Mazzoleni S., Bisogno G., Garaventa A., et al. Outcomes and prognostic factors after recurrence in children and adolescents with nonmetastatic rhabdomyosarcoma. Cancer. 2005; 104: 183–90. doi: 10.1002/cncr.21138
- 17. *Yip C.C., Kersten R.C., McCulley T.J., Ballard E.T., Kulwin D.R.* Osteogenic sarcoma after orbital radiation rhabdomyosarcoma. Ophthalmology. 2003; 110: 1996–99. doi: 10.1016/S0161-6420(03)00478-0
- Андреева Л.Д., Хорошилова-Маслова И.П. Иммуноморфология в диагностике рабдомиосаркомы орбиты. Вестник офтальмологии. 2009; 125 (2): 10—3. [Andreeva L.D., Khoroshilova-Maslova I.P. Immunomorphology in orbital rhabdomyosarcoma diagnostics. Vestnik oftal'mologii. 2009; 125 (2): 10—3 (in Russian)].
- Жильцова М.Г., Вальский В.В., Цыганков А.Ю., Саакян С.В. Опыт цитологической и иммуноцитохимической диагностики рабдомио-

- саркомы орбиты. Вестник ФГБУ «РОНЦ им. Н.Н. Блохина». 2016; 27 (4): 154—9. [Zhiltsova M.G., Valskiy V.V., Tsygankov A.Yu., Saakyan S.V. Cytological and immunocytochemical diagnostics of orbital rhabdomyosarcoma. Vestnik FGBU "RONC im. N.N. Blokhina". 2016; 27 (4): 154—9 (in Russian)].
- Neudorfer M., Leibovitch I., Stolovitch C., et al. Intraorbital and periorbital tumors in children - value of ultrasound and color Doppler imaging in the differential diagnosis. Am. J. Ophthalmol. 2004; 137: 1065–72. doi: 10.1016/j.aio.2004.01.050
- Sohaib S.A., Moseley I., Wright J.E. Orbital rhabdomyosarcoma the radiological characteristics. Clin. Radiol. 1998; 53: 357–62. doi: 10.1016/ s0009-9260(98)80009-3
- Andrade C.R., Takahama A., Nishimoto I.N., Kowalski L.P., Lopes M.A.
 Rhabdomyosarcoma of the head and neck: a clinicopathological and immunohistochemical analysis of 29 cases. Braz. Dent J. 2010; 21: 68–73. doi: 10.1590/s0103-64402010000100011
- Cintorino M., Vindigni C., Del Vecchio M.T., et al. Expression of actin isoforms and intermediate filament proteins in childhood orbital rhabdomyosarcomas. J. Submicrosc. Cytol. Pathol. 1989; 21: 409–19.
- Missiaglia E., Williamson D., Chisholm J., et al. PAX3/FOXO1 fusion gene status is the key prognostic molecular marker in rhabdomyosarcoma and significantly improves current risk stratification. J. Clin. Oncol. 2012; 30: 1670–7. doi: 10.1200/JCO.2011.38.5591

Вклад авторов в работу: С.В. Саакян — концепция исследования, набор материала, научное редактирование; Н.В. Склярова — набор и обработка материала, статистический анализ, написание текста; А.Ю. Цыганков — обработка материала, написание текста; техническое редактирование; М.Г. Жильцова — проведение цитологических исследований; В.Р. Алиханова — набор материала, написание текста; Р.А. Тацков — набор материала.

Authors' contribution: S.V. Saakyan — study concept, data collection, scientific editing; N.V. Sklyarova — data collection, statistical processing, article writing; A.Yu. Tsygankov — article writing; M.G. Zhiltsova — cytological studies; V.R. Alikhanova — data collection, article writing; R.A. Tatskov — data collection.

Поступила: 07.12.2021. Переработана: 08.01.2022. Принята к печати: 09.01.2022 Originally received: 07.12.2021. Final revision: 08.01.2022. Accepted: 09.01.2022

ИНФОРМАЦИЯ ОБ ABTOPAX / INFORMATION ABOUT THE AUTHORS

- 1 ФГБУ «НМИЦ глазных болезней им. Гельмгольца» Минздрава России, ул. Садовая-Черногрязская, д. 14/19, Москва, 105062, Россия
- ² ФГБОУ ВПО «МГМСУ им. А.И. Евдокимова» Минздрава России, ул. Делегатская, д. 20, стр. 1, Москва, 127473, Россия

Светлана Владимировна Саакян — член-корр. РАН, д-р мед. наук, профессор, начальник отдела офтальмоонкологии и радиологии¹, заведующая учебной частью кафедры глазных болезней²

Натэлла Владимировна Склярова — канд. мед. наук, научный сотрудник отдела офтальмоонкологии и радиологии $^{\mathrm{l}}$

Александр Юрьевич Цыганков — канд. мед. наук, научный сотрудник отдела офтальмоонкологии и радиологии 1 , ассистент кафедры глазных болезней 2

Марина Георгиевна Жильцова — канд. биол. наук, ведущий научный сотрудник отдела офтальмоонкологии и радиологии¹

Валида Рамисовна Алиханова — канд. мед. наук, врач-офтальмолог, заведующий отделением офтальмоонкологии и радиологии¹

Роберт Александрович Тацков — врач-офтальмолог отделения офтальмоонкологии и радиологии 1

Для контактов: Александр Юрьевич Цыганков, alextsygankov1986@yandex.ru

- ¹ Helmholtz National Medical Research Center of Eye Diseases, 14/19, Sadovaya-Chernogryazskaya st., Moscow, 105062, Russia
- ² Yevdokimov Moscow State Medical Stomatological University of Medicine and Dentistry, 20/1, Delegatskaya st., Moscow, 127473, Russia

Svetlana V. Saakyan — correspondent member of RAS, Dr of Med. Sci., professor, head of ocular oncology and radiology department¹, deputy director of education, ophthalmology faculty²

Natella V. Sklyarova — Cand. of Med. Sci., researcher of ocular oncology and radiology department¹

Alexander Yu. Tsygankov — Cand. of Med. Sci., researcher, ocular oncology and radiology department¹, assistant at ophthalmology faculty² **Marina G. Zhiltsova** — Cand. of Biol. Sci., senior researcher, ocular oncology and radiology department¹

Valida R. Alikhanova — Cand. of Med. Sci., ophthalmologist, ocular oncology and radiology department¹

 $\begin{tabular}{ll} \textbf{Robert A. Tatskov} & - & \text{ophthalmologist, ocular oncology and radiology department} \\ \end{tabular}$

Contact information: Alexander Yu. Tsygankov, alextsygankov1986@yandex.ru